



Laboratorium EMVO Sp. J. Urbański, Pawelak  
ul. Jasna 1  
00-013 Warszawa

tel. +48 22 780 29 64

e-mail: [laboratorium@emvo.pl](mailto:laboratorium@emvo.pl)



AB 1630

## Sprawozdanie z pomiarów pól elektromagnetycznych - środowisko nr 27/04/OŚ/2023 – P4-W



<b>Nr i nazwa stacji</b>	<b>BIA5540A</b>	
<b>Adres</b>	<b>Stare Krzewo 5, dz. nr 54, pow. białostocki, woj. podlaskie</b>	
<b>Opracowanie</b>	<b>Martyna Karczmarczyk</b>	<b>Specjalista ds. pomiarów</b>
<b>Autoryzacja</b>	<b>Andrzej Urbański</b>	<b>Kierownik Laboratorium</b>
<b>Podpis</b>		
<b>Data</b>	<b>2023-04-18</b>	

## Spis treści

1. Informacje ogólne.....	3
2. Podstawa prawna. ....	3
3. Opis pomiarów.....	4
4. Zróżnicowanie dopuszczalne poziomy pól elektromagnetycznych.....	5
5. Charakterystyka źródeł PEM.....	5
6. Wyniki pomiarów.....	5
7. Stwierdzenie zgodności .....	6
8. Oświadczenie.....	8
9. Spis załączników. ....	8

## 1. Informacje ogólne.

Zleceniodawca	<b>P4 sp. z o.o.,</b> ul. Wynałazek 1, 02-677 Warszawa osoba udzielająca informacji- Monika Bieroza
Istotne informacje dostarczone przez klienta	komplet informacji niezbędnych do wykonania pomiarów i opracowania sprawozdania
Dane otrzymane od klienta mogące mieć wpływ na ważność wyników	Dane anten sektorowych, dane anten radioliniowych, parametry pracy instalacji, ustawienie pochylenia anten
Prowadzący instalację	P4 sp. z o.o., ul. Wynałazek 1, 02-677 Warszawa
Lokalizacja obiektu	Stare Krzewo 5, dz. nr 54, pow. białostocki, woj. podlaskie
Miejsce instalacji anten	Wieża kratowa
Miejsce instalacji urządzeń	outdoor
Osoby wykonujące pomiar	Wojciech Kaczorek
Data wykonania pomiaru	18.04.2023
Temperatura na początku pomiaru [°C]	12,0
Temperatura na koniec pomiaru [°C]	12,0
Warunki atmosferyczne	Brak opadów
Wilgotność na początku pomiaru [%]	55,0
Wilgotność na koniec pomiaru [%]	55,0
Godzina na początku pomiaru	18:03
Godzina na koniec pomiaru	20:13
Inne źródła pól elektromagnetycznych oznaczone na załączniku graficznym	Występują
Parametry pracy instalacji	Tryb eksploatacyjny

## 2. Podstawa prawna.

### 2.1 Normy i rozporządzenia:

- Rozporządzeniem Ministra Klimatu z dnia 17 lutego 2020 r. w sprawie sposobów sprawdzania dotrzymania dopuszczalnych poziomów pól elektromagnetycznych w środowisku (Dz.U. 2020 poz. 258)
- Rozporządzenie Ministra Zdrowia z dnia 17 grudnia 2019 r. w sprawie dopuszczalnych poziomów pól elektromagnetycznych w środowisku (Dz.U. 2019 poz. 2448)
- Obwieszczenie Marszałka Sejmu Rzeczypospolitej Polskiej z dnia 29 września 2021 r. w sprawie ogłoszenia jednolitego tekstu ustawy - Prawo ochrony środowiska (Dz.U. 2021 poz. 1973)
- Rozporządzenie Ministra Klimatu i Środowiska z dnia 6 maja 2022 r. zmieniające rozporządzenie w sprawie sposobów sprawdzania dotrzymywania dopuszczalnych poziomów pól elektromagnetycznych w środowisku (Dz.U. 2022 poz. 1121).

„Bez pisemnej zgody Laboratorium niniejsze sprawozdanie nie może być powielane inaczej, jak tylko w całości. Ponadto wyniki dotyczą tylko badanych obiektów przywołanych w niniejszym sprawozdaniu z badań”

### 3. Opis pomiarów

Metodologia pomiarowa	Pomiary w oparciu o Rozporządzeniem Ministra Klimatu z dnia 17 lutego 2020 r. w sprawie sposobów sprawdzania dotrzymania dopuszczalnych poziomów pól elektromagnetycznych w środowisku (Dz.U. 2020 poz. 258) oraz Rozporządzenie Ministra Klimatu i Środowiska z dnia 6 maja 2022 r. zmieniające rozporządzenie w sprawie sposobów sprawdzania dotrzymywania dopuszczalnych poziomów pól elektromagnetycznych w środowisku (Dz.U. 2022 poz. 1121).
Cel badań	Określenie wartości natężenia pola elektrycznego w miejscach dostępnych dla ludności.
Opis zestawu pomiarowego	Miernik Narda NBM 550, Sonda EF9091, o zakresie pomiarowym 0,7 V/m - 300V/m pracująca w paśmie 0,1 – 90 GHz, świadectwo wydane przez Laboratorium Wzorców i Metrologii Pola Elektromagnetycznego, Instytut Telekomunikacji, Teleinformatyki i Akustyki Politechniki Wrocławskiej. Świadectwo ważne do 10.06.2024r. Miernik Narda NBM 550, Sonda EF9091 pracująca w zakresie temperatury -10°C +50°C oraz wilgotności 5% - 95%. Niepewność rozszerzona 59% przy poziomie ufności 95% z uwzględnieniem współczynnika rozszerzenia k=2.
Wyposażenie pomocnicze	Termohigrometr Termoprodukt, typ: Termik+, Nr. inwentarzowy 43/WL, nr identyfikacyjny 1530619, świadectwo wzorcowania nr 0392/AH/20 z dn. 02.03.2020 r. wydane przez Laboratorium Pomiarowe "MUTECH". Dalmierz laserowy BOSH GLM 40, Nr. inwentarzowy 27/WL, nr seryjny 711425432, Świadectwo wzorcowania L4-L41.4180.141.2018.3061.1 z dnia 12 września 2018 wydane przez Pracownia Długości Samodzielnego Laboratorium Długości w Głównym Urzędzie Miar. GPS Garmin 64s okresowo sprawdzany w punktach osnowy geodezyjnej klasy 3 na podstawie licencji punktu, zgodnie z procedurą sprawdzeń okresowych IS/PO16-11/03.
Pomiary zostały wykonane	<ol style="list-style-type: none"><li>1. na głównych i pomocniczych kierunkach pomiarowych, na kierunkach zbliżonych do azymutów anten oraz w dodatkowych pionach pomiarowych zgodnie z wymaganiami pkt 12, 13, 14 i 19 Rozporządzenia Ministra Klimatu z dnia 17 lutego 2020 r. (Dz. U. 2020, poz. 258) oraz Rozporządzenia Ministra Klimatu i Środowiska z dnia 6 maja 2022 r. zmieniającego rozporządzenie w sprawie sposobów sprawdzania dotrzymywania dopuszczalnych poziomów pól elektromagnetycznych w środowisku (Dz.U. 2022 poz. 1121).</li><li>2. na obszarze pomiarowym, dla którego, na podstawie uprzednio przeprowadzonych obliczeń stwierdzono w miejscach dostępnych dla ludności występowanie pól elektromagnetycznych o najwyższym poziomie, które pochodzą z badanej instalacji zgodnie z wymaganiami pkt 5 ppkt 2 oraz pkt 13 ppkt 1 Rozporządzenia Ministra Klimatu z dnia 17 lutego 2020 r. w sprawie sposobów sprawdzania dotrzymania dopuszczalnych poziomów pól elektromagnetycznych w środowisku (Dz. U. 2020, poz. 258) oraz Rozporządzenia Ministra Klimatu i Środowiska z dnia 6 maja 2022 r. zmieniającego rozporządzenie w sprawie sposobów sprawdzania dotrzymywania dopuszczalnych poziomów pól elektromagnetycznych w środowisku (Dz.U. 2022 poz. 1121). Wyniki obliczeń nie uwzględniały parametrów pracy instalacji innych operatorów występujących na obiekcie bądź w obszarze pomiarowym.</li><li>3. w miejscach dostępnych dla ludności.</li><li>4. miejsca niedostępne podczas wykonywania pomiarów wskazane zostały w pkt 6 (tabeli wyniki pomiarów).</li></ol>

Szczególne warunki podczas wykonywania pomiarów

Pomiary wykonane zostały podczas obowiązywania w kraju stanu zagrożenia epidemicznego, zgodnie z art. 122a ust. 1b Ustawy z dnia 27 kwietnia 2001 r. – Prawo ochrony środowiska (Dz. U. z 2019 r. poz. 1396, z późn. zm.9)).

Warunki pracy urządzeń nadawczych

Tryb pracy eksploatacyjny.

#### 4. Zróżnicowanie dopuszczalne poziomy pól elektromagnetycznych.

Zakresy znajdują się w Dzienniku Ustaw z dnia 17 grudnia 2019 r. przedstawione są w tabeli nr 2 (Dz. U. z 2019r. poz. 2448).

Parametr fizyczny	Składowa elektryczna E (V/m)	Składowa magnetyczna H (A/m)	Gęstość mocy S (W/m <sup>2</sup> )
Zakres Częstotliwości pola elektromagnetycznego			
od 400 MHz do 2000 MHz	$1,375 \times f^{0,5}$	$0,0037 \times f^{0,5}$	f / 200
od 2 GHz do 300 GHz	61	0,16	10

#### 5. Charakterystyka źródeł PEM.

Zgodnie z informacją otrzymaną od Klienta pomiary zostały wykonane przy ustawieniach pochylecia anten zgodnych z pkt. 13, ppkt 2 Rozporządzenia Ministra Klimatu z dnia 17 lutego 2020 roku.

Tabela 1. Anteny sektorowe - dane otrzymane od klienta

Charakterystyka promieniowania		kierunkowa									
Rzeczywisty czas pracy [h/dobę]		24									
Rodzaj wytwarzanego pola		stacjonarne									
L p	Wyszczególnienie	sektor 1					sektor 2				
<b>I Nadajnik stacji bazowej:</b>											
1	Typ / Producent	RBS / SRAN Ericsson									
2	Częstotliwość (pasmo) MHz	2600	800	900	2100	1800	2600	800	2100	1800	900
3	Maksymalna moc nadawana na sektor [dBm]	52,04	49,03	46,02	50,79	50,79	52,04	49,03	50,79	50,79	46,02
<b>II Obciążenie:</b>											
1	Typ anteny	Huawei ATR4518R6		Kathrein 80010456	Huawei A19451902	Huawei A19451902	Huawei ATR4518R6		Huawei A19451902	Huawei A19451902	Huawei A79451600
2	Producent anteny	Huawei		Kathrein	Huawei	Huawei	Huawei		Huawei	Huawei	Huawei
3	Nazwa anteny	14_H V	14_H V	13_GT	11_N	12_L	24_H V	24_H V	21_N	22_L	23_GT
4	Ilość anten	1		1	1	1	1		1	1	1
5	Azymut	40					150				
6	Zakres kątów pochylecia anten [°]	0-10	0-10	0,5-10	0-6	0-6	0-10	0-10	0-6	0-6	0-12
7	Wysokość zainst. n.p.t. [m]	56,85		59,20	59,35	59,35	56,85		59,35	59,35	59,35
8	EIRP [W]	13289		4137	9249	7945	13289		9249	7945	1765

„Bez pisemnej zgody Laboratorium niniejsze sprawozdanie nie może być powielane inaczej, jak tylko w całości. Ponadto wyniki dotyczą tylko badanych obiektów przywołanych w niniejszym sprawozdaniu z badań”

Charakterystyka promieniowania		kierunkowa				
Rzeczywisty czas pracy [h/dobę]		24				
Rodzaj wytwarzanego pola		stacjonarne				
Lp	Wyszczególnienie	sektor 3				
I	Nadajnik stacji bazowej:					
1	Typ / Producent	RBS / SRAN Ericsson				
2	Częstotliwość (pasmo) MHz	2600	800	2100	1800	900
3	Maksymalna moc nadawana na sektor [dBm]	52,04	49,03	50,79	50,79	46,02
II	Obciążenie:					
1	Typ anteny	Huawei ATR4518R6		Huawei A19451902	Huawei A19451902	Huawei A79451600
2	Producent anteny	Huawei		Huawei	Huawei	Huawei
3	Nazwa anteny	34_HV	34_HV	31_N	32_L	33_GT
4	Ilość anten	1		1	1	1
5	Azymut	280				
6	Zakres kątów pochylenia anten [°]	0-10	0-10	0-6	0-6	0-12
7	Wysokość zainst. n.p.t. [m]	56,85		59,35	59,35	59,35
8	EIRP [W]	13289		9249	7945	1765

Tabela 2. Anteny radioliniowe- dane otrzymane od klienta

Charakterystyka promieniowania		kierunkowa					
Rzeczywisty czas pracy [h/dobę]		24					
Rodzaj wytwarzanego pola		stacjonarne					
Lp	Linia radiowa			Antena			
	typ/producent	częstotliwość pracy [GHz]	moc wyjściowa [dBm]	typ/producent	średnica anteny [m]	azymut [°]	wysokość zainstal. [m]
1	OPTIX RTN/HUAWEI	80/23	17/25	A23S80S06/Huawei	0,6	36	54,95
2	OPTIX RTN/HUAWEI	80/23	18/25	A23S80S06/Huawei	0,6	130	55,00
3	OPTIX RTN/HUAWEI	18	28,5	VHLPX2-18/Andrew	0,6	249	54,95

## 6. Wyniki pomiarów.

Wyniki pomiarów pól elektromagnetycznych dla celów ochrony środowiska przedstawia poniższa tabela. Piony pomiarowe zostały przedstawione w zał. 2.

Nr PP	Pole-E [V/m]	Pole-E, +U [V/m]	Pole-H [A/m]	Pole-H +U [A/m]	Wys. pomiaru [m]	Opis pionu	Uwagi	WM <sub>E</sub>	WM <sub>H</sub>
1	1,6	2,54	0,004	0,007	0,3-2,0	N:53°06'43.9" E:22°36'19.2"	otoczenie stacji bazowej - 100m wzdłuż gł. osi promieniowania - GKP	0,091	0,092
2	1,4	2,23	0,004	0,006	0,3-2,0	N:53°06'46.3" E:22°36'22.9"	otoczenie stacji bazowej - 200m wzdłuż gł. osi promieniowania - GKP	0,080	0,081
3	1,5	2,39	0,004	0,006	0,3-2,0	N:53°06'48.8" E:22°36'26.6"	otoczenie stacji bazowej - 300m wzdłuż gł. osi promieniowania - GKP	0,085	0,087
4	1,2	1,91	0,003	0,005	0,3-2,0	N:53°06'51.1" E:22°36'29.9"	otoczenie stacji bazowej - 400m wzdłuż gł. osi promieniowania- GKP	0,068	0,069
5	0,8	1,27	0,002	0,003	0,3-2,0	N:53°06'53.5" E:22°36'33.6"	otoczenie stacji bazowej - 500m wzdłuż gł. osi promieniowania - GKP	0,045	0,046
6	0,7*	1,27	0,002	0,003	0,3-2,0	N:53°06'55.7" E:22°36'36.8"	otoczenie stacji bazowej - 590m wzdłuż gł. osi promieniowania - GKP	0,045	0,046
7	1,7	2,70	0,005	0,007	0,3-2,0	N:53°06'38.5" E:22°36'17.9"	otoczenie stacji bazowej - 100m wzdłuż gł. osi promieniowania - GKP	0,097	0,098

8	1,5	2,39	0,004	0,006	0,3-2,0	N:53°06'35.6" E:22°36'20.5"	otoczenie stacji bazowej - 200m wzdłuż gł. osi promieniowania - GKP	0,085	0,087
9	1,1	1,75	0,003	0,005	0,3-2,0	N:53°06'32.9" E:22°36'23.1"	otoczenie stacji bazowej - 300m wzdłuż gł. osi promieniowania - GKP	0,062	0,064
10	1,2	1,91	0,003	0,005	0,3-2,0	N:53°06'29.9" E:22°36'25.4"	otoczenie stacji bazowej - 400m wzdłuż gł. osi promieniowania- GKP	0,068	0,069
11	1,1	1,75	0,003	0,005	0,3-2,0	N:53°06'27.2" E:22°36'27.9"	otoczenie stacji bazowej - 500m wzdłuż gł. osi promieniowania - GKP	0,062	0,064
12	1,1	1,75	0,003	0,005	0,3-2,0	N:53°06'24.7" E:22°36'30.2"	otoczenie stacji bazowej - 590m wzdłuż gł. osi promieniowania - GKP	0,062	0,064
13	1,5	2,39	0,004	0,006	0,3-2,0	N:53°06'42.3" E:22°36'10.4"	otoczenie stacji bazowej - 100m wzdłuż gł. osi promieniowania - GKP	0,085	0,087
14	1,4	2,23	0,004	0,006	0,3-2,0	N:53°06'43.1" E:22°36'05.0"	otoczenie stacji bazowej - 200m wzdłuż gł. osi promieniowania - GKP	0,080	0,081
15	1,3	2,07	0,003	0,005	0,3-2,0	N:53°06'43.9" E:22°36'00.2"	otoczenie stacji bazowej - 300m wzdłuż gł. osi promieniowania - GKP	0,074	0,075
16	1,2	1,91	0,003	0,005	0,3-2,0	N:53°06'44.8" E:22°35'54.4"	otoczenie stacji bazowej - 400m wzdłuż gł. osi promieniowania- GKP	0,068	0,069
17	1,1	1,75	0,003	0,005	0,3-2,0	N:53°06'45.5" E:22°35'49.6"	otoczenie stacji bazowej - 500m wzdłuż gł. osi promieniowania - GKP	0,062	0,064
18	1,0	1,59	0,003	0,004	0,3-2,0	N:53°06'46.2" E:22°35'44.9"	otoczenie stacji bazowej - 590m wzdłuż gł. osi promieniowania - GKP	0,057	0,058
19	1,6	2,54	0,004	0,007	0,3-2,0	N:53°06'38.9" E:22°36'19.2"	otoczenie stacji bazowej - 100m wzdłuż gł. osi promieniowania - GKP	0,091	0,092
20	1,4	2,23	0,004	0,006	0,3-2,0	N:53°06'40.5" E:22°36'10.5"	otoczenie stacji bazowej - 100m wzdłuż gł. osi promieniowania - GKP	0,080	0,081
21	1,6	2,54	0,004	0,007	0,3-2,0	N:53°06'43.3" E:22°36'23.1"	otoczenie stacji bazowej -PKP	0,091	0,092
22	1,3	2,07	0,003	0,005	0,3-2,0	N:53°06'41.5" E:22°36'19.4"	otoczenie stacji bazowej -PKP	0,074	0,075
23	1,5	2,39	0,004	0,006	0,3-2,0	N:53°06'37.5" E:22°36'15.5"	otoczenie stacji bazowej -PKP	0,085	0,087
24	1,4	2,23	0,004	0,006	0,3-2,0	N:53°06'40.2" E:22°36'13.5"	otoczenie stacji bazowej -PKP	0,080	0,081
25	1,4	2,23	0,004	0,006	0,3-2,0	N:53°06'44.5" E:22°36'10.2"	otoczenie stacji bazowej - GKP	0,080	0,081
26	1,5	2,39	0,004	0,006	0,3-2,0	N:53°06'42.5" E:22°36'13.9"	otoczenie stacji bazowej - GKP	0,085	0,087
27	1,3	2,07	0,003	0,005	0,3-2,0	N:53°06'44.8" E:22°36'15.7"	otoczenie stacji bazowej -PKP	0,074	0,075
A	1,5	2,39	0,004	0,006	0,3-2,0	N:53°06'43.3" E:22°36'08.7"	Stare Krzewo 5, pomiar przed posesją -DPP	0,085	0,087
B	1,5	2,39	0,004	0,006	0,3-2,0	N:53°06'42.1" E:22°36'05.4"	Stare Krzewo 6, pomiar przed posesją -DPP	0,085	0,087
C	1,1	1,75	0,003	0,005	0,3-2,0	N:53°06'32.3" E:22°36'20.5"	Sikory-Bartyczki 8/7, pomiar przed posesją -DPP	0,062	0,064

Wynik pomiaru pole - E [V/m] - maksymalna wartość chwilowa zmierzona w danym pionie pomiarowym (uśredniona na podstawie punktu 11 załącznika do Rozporządzenia Ministra Klimatu z dnia 17 lutego 2020 r. w sprawie sposobów sprawdzania dotrzymania dopuszczalnych poziomów pól elektromagnetycznych w środowisku (Dz.U. 2020 poz. 258, Dz.U. 2022 poz. 1121)). Zgodnie z pkt. 7 załącznika do Rozporządzenia Ministra Klimatu z dnia 17 lutego 2020 r. w sprawie sposobów sprawdzania dotrzymania dopuszczalnych poziomów pól elektromagnetycznych w środowisku (Dz.U. 2020 poz. 258, Dz.U. 2022 poz. 1121) nie stosuje się poprawek pomiarowych.

Przyjęto najniższą dopuszczalną wartość składowej elektrycznej pola dla objętego pomiarami zakresu częstotliwości  $\min(ME_{gr})= 28 \text{ V/m}$  oraz składowej magnetycznej  $\min(MH_{gr})= 0,073 \text{ A/m}$ .

\* - wartość zmierzona poniżej zakresu akredytacji. Do obliczeń przyjęto wartość zgodną z dolną granicą akredytowanego zakresu pomiarowego metody.

GKP - główne kierunki pomiarowe

PKP - pomocnicze kierunki pomiarowe

DPP - dodatkowe punkty pomiarowe

PP - pion pomiarowy

U - niepewność pomiarowa rozszerzona, przy poziomie ufności 95%, z uwzględnieniem współczynnika rozszerzenia  $k=2$

$WM_E$  - wartość wskaźnikowa poziomu emisji pól elektromagnetycznych dla miejsc dostępnych dla ludności dla składowej elektrycznej pola

$WM_H$  - wartość wskaźnikowa poziomu emisji pól elektromagnetycznych dla miejsc dostępnych dla ludności dla składowej magnetycznej pola

„Bez pisemnej zgody Laboratorium niniejsze sprawozdanie nie może być powielane inaczej, jak tylko w całości. Ponadto wyniki dotyczą tylko badanych obiektów przywołanych w niniejszym sprawozdaniu z badań”

## **7. Stwierdzenie zgodności**

Na podstawie wytycznych podanych w Rozporządzeniu Ministra Zdrowia z dnia 17 grudnia 2019 r. w sprawie dopuszczalnych poziomów pól elektromagnetycznych w środowisku (Dz.U. 2019 poz. 2448) oraz sposobów sprawdzania dotrzymania tych poziomów zgodnie z Rozporządzeniem Ministra Klimatu z dnia 17 lutego 2020 r. w sprawie sposobów sprawdzania dotrzymania dopuszczalnych poziomów pól elektromagnetycznych w środowisku (Dz.U. 2020 poz. 258) oraz Rozporządzeniem Ministra Klimatu i Środowiska z dnia 6 maja 2022 r. zmieniającego rozporządzenie w sprawie sposobów sprawdzania dotrzymania dopuszczalnych poziomów pól elektromagnetycznych w środowisku (Dz.U. 2022 poz. 1121), dotyczących źródła wymagań, które muszą być spełnione, w oparciu o zasadę podejmowania decyzji zgodną z pkt. 26 Rozporządzenia Ministra Klimatu z dnia 17 lutego 2020 r. (Dz.U. 2020 poz. 258), na podstawie wyników pomiarów pól elektromagnetycznych wykonanych w dniu 18.04.2023 stwierdzono, że wszystkie wyniki przeprowadzonych pomiarów w danym obszarze pomiarowym oraz wyznaczone na tej podstawie wskaźniki WME oraz WMH są mniejsze od wartości dopuszczalnych – zgodnie z przepisami wydanymi na podstawie art. 122 ust. 1 ustawy z dnia 27 kwietnia 2001 r. – Prawo ochrony środowiska – załącznikiem do Rozporządzenia Ministra Klimatu i Środowiska z dnia 17 lutego 2020 r. w sprawie sposobów sprawdzania dotrzymania dopuszczalnych poziomów pól elektromagnetycznych w środowisku (Dz.U. 2020 poz. 258, pkt 26).

## **8. Oświadczenie.**

Wyniki badania odnoszą się wyłącznie do badanego obiektu.

Bez pisemnej zgody sprawozdanie nie może być powielane inaczej, jak tylko w całości.

Uwagi i zastrzeżenia przyjmowane są w formie pisemnej.

## **9. Spis załączników.**

Zał. 1. Lokalizacja obiektu.

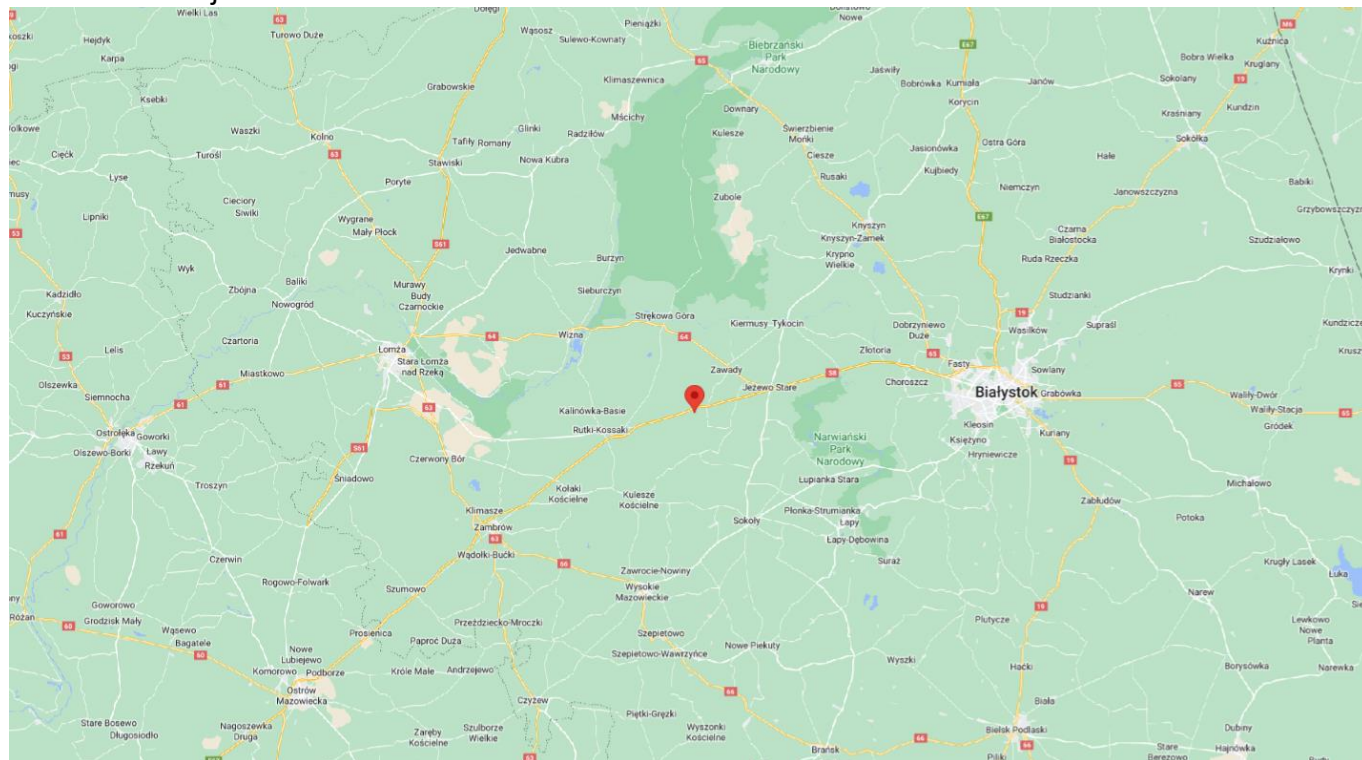
Zał. 2. Widok pionów pomiarowych

Zał. 3. Załączniki graficzne

**Koniec sprawozdania**

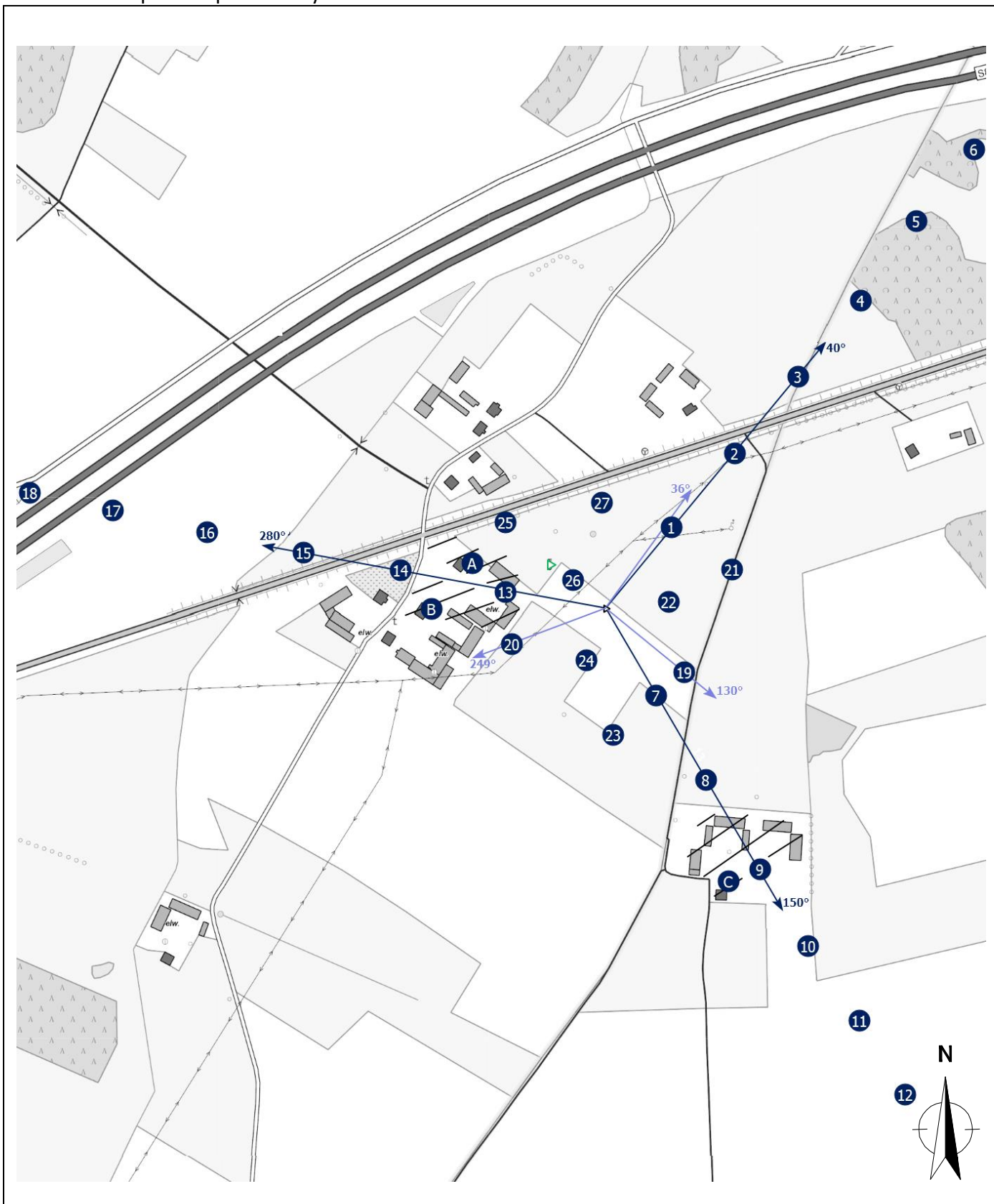


## Zał. 1. Lokalizacja obiektu




Współrzędne geograficzne	
długość:	22°36'15.17"E
szerokość:	53°06'41.65"N

Załącznik 2. Widok pionów pomiarowych




LEGENDA:

 inna instalacja radiokomunikacyjna

 brak dostępu

 pion pomiaru

 antena sektorowa

 antena radioliowa

Skala: 1:6500



### Załącznik 3. Załączniki graficzne.

